

# ГИДРОЭНЕРГЕТИКА

УДК 628.112

## МЕТОДИКА РАСЧЕТА РАСПРОСТРАНЕНИЯ ИМПУЛЬСОВ ДАВЛЕНИЯ ПРИ ГАЗОИМПУЛЬСНОЙ РЕГЕНЕРАЦИИ ФИЛЬТРОВ ВОДОЗАБОРНЫХ СКВАЖИН

Канд. техн. наук, доц. ИВАШЕЧКИН В. В.,  
канд. физ.-мат. наук, доц. ВЕРЕМЕНЮК В. В.

*Белорусский национальный технический университет*

В процессе эксплуатации водозаборных скважин в фильтрах и при фильтровых зонах из-за явлений химического кольматажа происходит образование кольматирующих отложений, которые в результате минерализации упрочняются и образуют цемент обраствания в отверстиях фильтров и порах гравийной обсыпки. Это приводит к повышению гидравлического сопротивления фильтров и прифильтровых зон, снижению динамического уровня, притока воды и дебита скважин. Возрастают энергозатраты при добыче воды и возникает необходимость в декольматации фильтров скважин.

При регенерации фильтров скважин импульсными методами в полости фильтра создают импульс давления, который в виде волны распространяется в радиальном направлении от импульсного источника. Для обеспечения разрушающего действия волны на отложения по всей глубине зоны кольматации необходимо знать закономерности затухания волны в скважине и пористой среде прифильтровой зоны.

В настоящее время для расчета распространения импульсов давления при регенерации фильтров [1] используются упрощенные зависимости, учитывающие затухание давления только на фронте сферической волны при создании электрогидравлического разряда и пневмовзрыва в полости очищаемого фильтра. Указанные зависимости не учитывают фильтрационные параметры грунта и его пьезопроводность и поэтому не могут быть применены для расчета распространения волн давления при использовании подводных газовых взрывов в открытых снизу цилиндрических полузамкнутых камерах, сферических и цилиндрических взрывных камерах с эластичными неразрушимыми оболочками [2].

Целью настоящей работы явилось создание методики расчета распространения импульсов давления при подводных газовых взрывах в полости фильтра.

При инициировании взрыва в газовой смеси в указанных выше взрывных камерах происходит химическое превращение в виде взрывного горе-

ния или детонации. Здесь используется допущение о том, что газовая смесь во взрывной камере в начальный момент времени превращается в продукты с некоторым средним и одинаковым по всему объему давлением, равным  $p_{взр}$ , которое определяется по формуле [2]

$$p_{взр} = m' p_0, \quad (1)$$

где  $m'$  – степень роста давления при взрыве;  $p_0$  – окружающее давление на глубине  $H$  в скважине,  $p_0 = p_{атм} + \rho g H$ .

Пульсации полости вызывают возмущение плотности в жидкости в виде расходящейся волны давления. По пути своего движения волна давления распространяется вначале в жидкой среде – в кольцевом зазоре между взрывной камерой и внутренней стенкой фильтра радиуса  $R_\phi$ . При прохождении волной стенки фильтра давление на ее фронте снижается. Степень снижения давления определяется коэффициентом  $\beta$ , который зависит от конструкции фильтра, скважности и материала, из которого он изготовлен [1].

Амплитуду  $\Delta p_{1H}$  первого пика давления на наружной поверхности фильтра можно определить, зная  $\Delta p_1$  – амплитуду первого пика давления на внутренней поверхности фильтра, которую можно рассчитать по формуле [1]

$$\Delta p_{1H} = \beta \Delta p_1. \quad (2)$$

Далее волна распространяется и затухает в пористой водонасыщенной среде – в прифильтровой зоне. Таким образом, волна давления распространяется и затухает в различных средах, что предопределяет различия в интенсивности ее затухания.

Рассмотрим последовательно характер затухания волны на всех этапах ее распространения при инициировании газового взрыва в различных взрывных камерах.

**Сферическая взрывная камера с тонкой эластичной оболочкой.** Пусть внутри сферической взрывной камеры наружным радиусом  $R_l$  с эластичной оболочкой толщиной  $\delta$ , заполненной газовой смесью, произошел взрыв. Давление внутри оболочки сразу после взрыва  $p_{взр}$  определяется по (1).

Образующаяся при пульсациях продуктов взрыва волна давления в жидкости имеет несколько пиков давления, чередующихся с фазами разрежения. Чтобы рассчитать параметры волны на внутренней поверхности фильтра, необходимо учесть затухание волны в кольцевом зазоре между взрывной камерой и внутренней стенкой фильтра, заполненной жидкостью. Закономерности распространения волн давления в жидкости от сферических и цилиндрических газовых источников с эластичными оболочками рассмотрены [3].

Согласно [3] амплитуду первого пика давления  $\Delta p_1$  в дальней зоне газового взрыва на расстоянии  $R$  от центра сферической полости с эластичной оболочкой радиусом  $R_l$  можно определить по формуле

$$\Delta p_1 = \frac{R_l}{R} (p_{взр} - p_0). \quad (3)$$

Дальняя зона взрыва соответствует расстояниям большим, чем двойной начальный радиус полости, т. е.  $R > 2R_l$ . Здесь давление в волне уменьшается пропорционально первой степени расстояния  $R$ . На более близких расстояниях от полости амплитуда давления падает быстрее, чем по акустическому закону [3]. С. А. Ловля указывает, что у твердых взрывчатых веществ в ближней зоне давление может падать в пределе пропорционально квадрату расстояния [4].

Поэтому для общего случая, когда внутренняя поверхность фильтра может находиться как в ближней, так и в дальней зонах взрыва, с учетом толщины  $\delta$  эластичной оболочки и выражений (1)–(3), амплитуда  $\Delta p_{1H}$  первого пика давления на наружной поверхности фильтра

$$\Delta p_{1H} = \beta \left( \frac{R_l - \delta}{R_\phi} \right)^s (m' p_0 - p_0), \quad (4)$$

где  $s$  – показатель степени, учитывающий интенсивность падения давления в зоне распространения волны. Если  $R_\phi > 2R_l$ , то значение  $s = 1$ , при  $R_\phi \leq 2R_l$  показатель степени лежит в пределах  $1 < s \leq 2$  и задается по данным экспериментов.

Для теоретического исследования процесса распространения волны давления в пласте, возникающей в результате применения сферической взрывной камеры, использовалось уравнение [5] в сферических координатах

$$\frac{1}{a} \frac{\partial \Delta p}{\partial t} = \frac{\partial^2 \Delta p}{\partial R^2} + \frac{2}{R} \frac{\partial \Delta p}{\partial R}, \quad (5)$$

где  $R$  – расстояния точки пласта до центра взрыва;  $\Delta p(t, R)$  – повышение (понижение) давления  $p(t, R)$  в волне по отношению к давлению  $p_0$ ;  $a$  – коэффициент пьезопроводности пласта.

Коэффициент пьезопроводности  $a$  пласта представляет собой отношение водопроводимости  $T$  к коэффициенту упругой водоотдачи  $\mu$  [6]

$$a = \frac{T}{\mu}, \quad (6)$$

где водопроводимость  $T$  определяется как произведение коэффициента фильтрации  $k$  и мощности водоносного пласта  $m$ , т. е.

$$T = km. \quad (7)$$

Коэффициент  $\mu$  вычисляется по формуле [6]

$$\mu = \rho g \left( \frac{n_0}{E_b} + \frac{1}{E_{pl}} \right) m, \quad (8)$$

где  $n_0$  – начальная пористость пласта;  $E_b$  и  $E_{pl}$  – модули деформации соответственно воды и пласта.

Значения коэффициентов пьезопроводности  $a$  пласта приведены в [6] в табличной форме для различных типов грунтов.

Уравнение (5) решается при следующих начальных и краевых условиях

$$\begin{cases} \Delta p(0, R) = 0, R \in [R_0; +\infty); \\ \Delta p(t, R_0) = f(t); \\ \Delta p(t, \infty) = 0, \end{cases} \quad (9)$$

где  $R_0 = R_\phi + \delta_\phi$  – наружный радиус фильтра;  $\Delta p(t, R_0)$  – заданное распределение давления на наружной стенке фильтра. Решение задачи (5), (9) с использованием преобразования Лапласа имеет вид

$$\Delta P(t, R) = \frac{R_0(R - R_0)}{2R\sqrt{a\pi}} \int_0^t \frac{f(z)}{\sqrt{(t-z)^3}} \exp\left(-\frac{(R-R_0)^2}{4a(t-z)}\right) dz. \quad (10)$$

Вычисление интеграла (10) проводилось по методу Симпсона с шагом  $\Delta z = 10^{-4}$ . Функция  $f(t)$  определялась с учетом (4) и адиабатного закона изменения давления в продуктах взрыва

$$f(t) = \beta \left( \frac{R_l - \delta}{R_\phi} \right)^s \left( m' p_0 \left( \frac{R_l - \delta}{R(t) - \delta} \right)^{3n} - p_0 \right), \quad (11)$$

где  $n$  – значение показателя адиабаты продуктов взрыва в процессе пульсаций;  $R(t)$  – радиус взрывной камеры в момент времени  $t$ . Этот радиус рассчитывался как решение уравнения (20) [2].

**Полузамкнутая открытая снизу цилиндрическая взрывная камера.** Пусть внутри открытой снизу цилиндрической взрывной камеры длиной  $l$  и радиусом  $R_l$ , частично заполненной газовой смесью с толщиной слоя  $h$ , произошел взрыв. Давление  $p_{\text{взр}}$  внутри газовой полости сразу после взрыва определяется по (1). Образующаяся при пульсациях продуктов взрыва волна давления в жидкости имеет несколько пиков давления, чередующихся с фазами разрежения.

Как показали исследования [7], наибольшей излучающей способностью обладает взрывная камера, длина которой  $l$  равна диаметру камеры  $D_1$ , т. е.  $l = 2R_l$ . При этом плоский отражатель размещается на расстоянии  $l' = 2R_l$ .

Согласно [7] при газовом взрыве в полузамкнутой взрывной камере амплитуда первого пика давления  $\Delta p_1$  на внутренней поверхности фильтра радиусом  $R_\phi$  определяем по формуле

$$\Delta p_1 = \left( \frac{R_l - \delta}{R_\phi} \right)^s \left( \frac{h}{l} \right)^\theta (p_{\text{взр}} - p_0), \quad (12)$$

где  $\theta$  – показатель степени, учитывающий интенсивность падения давления при частичном заполнении взрывной камеры газовой смесью; по опытным данным при взрыве водородно-кислородной газовой смеси (ВКГС)  $s = 1,3$ , а  $\theta = 0,76$ .

Тогда амплитуда  $\Delta p_{1H}$  первого пика давления на наружной поверхности фильтра с учетом (2) и (12)

$$\Delta p_1 = \beta \left( \frac{R_l - \delta}{R_\Phi} \right)^s \left( \frac{h}{l} \right)^\theta (p_{\text{взр}} - p_0). \quad (13)$$

Так как волна, излучаемая полуоткрытой взрывной камерой, мало отличается от сферической волны давления [3, 7], для исследования процесса распространения волн давления в пласте использовали уравнение (5) с начальными и краевыми условиями (9).

Функцию  $f(t)$  определяли с учетом (13) и адиабатного закона изменения давления в продуктах взрыва

$$f(t) = \beta \left( \frac{R_l - \delta}{R_\Phi} \right)^s \left( \frac{h}{l} \right)^\theta \left( m' p_0 \left( \frac{h}{h(t)} \right)^n - p_0 \right), \quad (14)$$

где  $h(t)$  – толщина слоя продуктов взрыва во взрывной камере в момент времени  $t$ , определялась как решение уравнения (19) [8].

**Цилиндрическая замкнутая взрывная камера с эластичной оболочкой.** Пусть внутри замкнутой цилиндрической взрывной камеры длиной  $l$  и наружным радиусом  $R_l$ , заполненной газовой смесью и снабженной эластичной оболочкой толщиной  $\delta$ , произошел взрыв. Давление  $p_{\text{взр}}$  внутри газовой полости сразу после взрыва определяется по (1).

Согласно исследованиям [3] амплитуду первого пика давления  $\Delta p_1$  в жидкости в дальней зоне взрыва при расстоянии  $R > 2R_l$  от центра цилиндрической полости с эластичной оболочкой можно найти по формуле

$$\Delta p_1 = \frac{l}{2R \ln \frac{l}{R_l}} (p_{\text{взр}} - p_0). \quad (15)$$

Для общего случая с учетом нелинейности затухания волны в ближней зоне ( $R \leq 2R_l$ ) и толщины эластичной оболочки  $\delta$ , а также выражений (1), (2), (15) амплитуда  $\Delta p_{1H}$  первого пика давления на наружной поверхности фильтра равна

$$\Delta p_{1H} = \beta \left( \frac{l}{2R_\Phi \ln \frac{l}{R_l - \delta}} \right)^s (m p_0 - p_0). \quad (16)$$

Показатель степени  $s$  задают так же, как в (4).

Для исследования процесса распространения волн давления в пласте, возникающих в результате цилиндрического взрыва в скважине, использовалось уравнение [5] в цилиндрических координатах

$$\frac{1}{a} \frac{\partial \Delta p}{\partial t} = \frac{\partial^2 \Delta p}{\partial R^2} + \frac{1}{R} \frac{\partial \Delta p}{\partial R}. \quad (17)$$

Здесь  $R$  – расстояние точки пласта до оси взрыва, величины  $a$  и  $\Delta p(t, R)$  имеют тот же смысл, что и для (5). Решение этого уравнения находим при начальных и граничных условиях (9).

Функцию  $f(t)$  определяем

$$f(t) = \beta \left( \frac{l}{2R_\Phi \ln \frac{l}{R_l - \delta}} \right)^s \left( mp_0 \left( \frac{R_l - \delta}{R(t) - \delta} \right)^{2n} - p_0 \right), \quad (18)$$

где радиус  $R(t)$  рассчитывался как решение (22) [9].

Решение задачи (17) и (9) с использованием преобразования Лапласа (аналогично [5]) представляется весьма нерациональным, так как получаем интеграл типа свертки  $\Delta p(t, R) = A \int_0^t f(z)g(t-z)dz$ , в котором функция  $g(z)$  в отличие от (10) имеет более громоздкий вид, а именно [5] она выражается в виде несобственного интеграла от сложной комбинации функций Бесселя. В этом случае даже численное интегрирование становится весьма проблематичным (хотя бы с точки зрения затрат машинного времени).

Поэтому задача (17) и (9) решалась с использованием разностной схемы. Третье условие из (9) было заменено на  $\Delta p(t, M) = 0$ , где  $M$  – достаточно большое число. Так как численный анализ решения (10) для сферического случая показал, что  $\Delta P(t, M) \approx 0$  при  $M > 5$ , для цилиндрического случая принимаем  $M = 10$ .

Рассмотрим сетку:  $r_i = r_0 + ih$ ;  $h = 0,01$ ;  $i = 0, \dots, n$ ;  $r_0 + nh = M$ ;  $t_j = j\tau$ ;  $j = 1, \dots$ ;  $\tau = 10^{-4}$ . Обозначим  $u_{ij} = \Delta P(t_j, r_i)$ . С использованием шаблонов [10, с. 609] уравнение (17) аппроксимируется конечно-разностным уравнением

$$\frac{1}{a} \frac{u_{ij} - u_{ij-1}}{\tau} = \frac{u_{i+1j} - 2u_{ij} + u_{i-1j}}{h^2} + \frac{1}{r_i} \frac{u_{i+1j} - u_{i-1j}}{h}.$$

Отсюда получаем неявную двухслойную разностную схему

$$\begin{cases} -\frac{h^2}{a\tau} u_{ij-1} = \left(1 - \frac{h}{2r_i}\right) u_{i-1j} - \left(2 + \frac{h^2}{a\tau}\right) u_{ij} + \left(1 + \frac{h}{2r_i}\right) u_{i+1j}; \\ u_{0j} = f(t_j), \\ u_{nj} = 0; \end{cases} \quad i = 0, \dots, n; \quad j = 1, \dots \quad (19)$$

Данная схема аппроксимирует задачу (17) и (9) с точностью  $O(\tau + h^2)$  [10, с. 404]. Система (19) решается методом прогонки [11, с. 35]. Условия устойчивости для метода прогонки выполнены [11, с. 36]. Для контроля вычислений шаги сетки  $\tau$  и  $h$  уменьшались в два раза. Колебания решений находились в пределах  $3 \cdot 10^{-3}$ .

Так как для всех трех задач требуется соблюдения начальные и граничные условия (9), должно быть выполнено равенство  $f(0) = 0$ , а также введена

в рассмотрение величина  $t_0 = \frac{R_\Phi - R_l}{c_{\text{вод}}}$ , где  $c_{\text{вод}} = 1425$  м/с – скорость звука

в воде; время, за которое волна давления достигает стенки фильтра (для реальных конструкций  $t_0 < 10^{-4}$ ). Второе из условий (9) заменим на

$\Delta p(t, R_0) = \tilde{f}(t)$ , где  $\tilde{f}(t) = \begin{cases} 0 & \text{при } t = 0, \\ f(t - t_0) & \text{при } t \geq t_0, \end{cases}$  а функция  $f(t)$  (в зависимости от рассматриваемой задачи) определяется (11), (14) или (18). Функцию  $\tilde{f}(t)$  на участке  $[0; t_0]$  можно считать линейно растущей от 0 до  $f(0)$  (в случае, если шаг интегрирования для (10) или шаг  $\tau$  по времени для разностной схемы выбирать меньше  $t_0$ ).

С помощью составленных на ЭВМ программ расчета были построены графики, иллюстрирующие распространение волн гидродинамического давления в прифильтровой зоне, возникающих при газовых взрывах в различных взрывных камерах: сферической с эластичной оболочкой (рис. 1), полузамкнутой (рис. 2), цилиндрической с эластичной оболочкой (рис. 3).

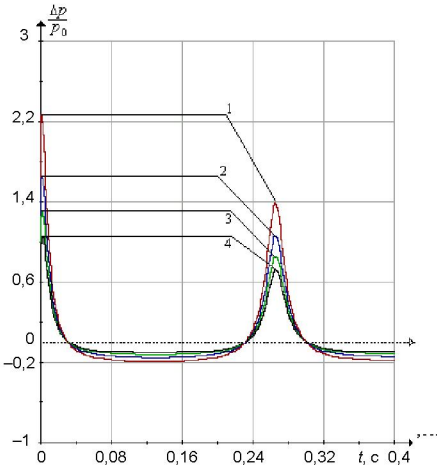


Рис. 1. Характер изменения относительного перепада давления  $\Delta p/p_0 = f(t)$  в волне при распространении в прифильтровой зоне скважины на различных радиусах  $R$  от оси фильтра с наружным радиусом  $R_0$  при взрыве в сферической камере с эластичной оболочкой: 1 –  $R = R_0$ ; 2 –  $R = R_0 + 5$  см; 3 –  $R = R_0 + 10$  см; 4 –  $R = R_0 + 15$  см при:  $R_1 = 6,1$  см;  $R_\phi = 12,5$  см;  $R_k = 12,5$  см;  $l_\phi = 10$  м;  $l_k = 20$  м;  $l_a = 0$ ;  $n = 1,4$ ;  $m' = 10$ ;  $\delta = 3$  мм;  $\delta_\phi = 10$  мм;  $a = 10$  м<sup>2</sup>/с;  $s = 1,3$ ;  $\beta = 0,7$ ;  $p_0 = 0,392$  МПа

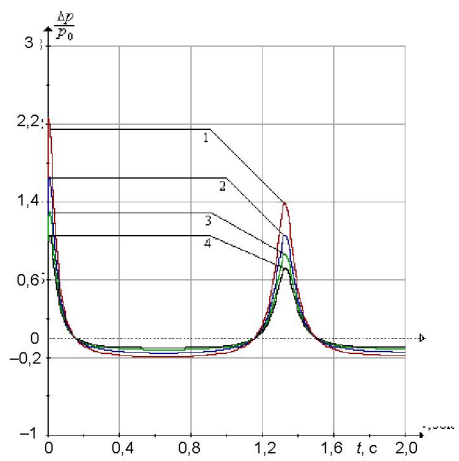
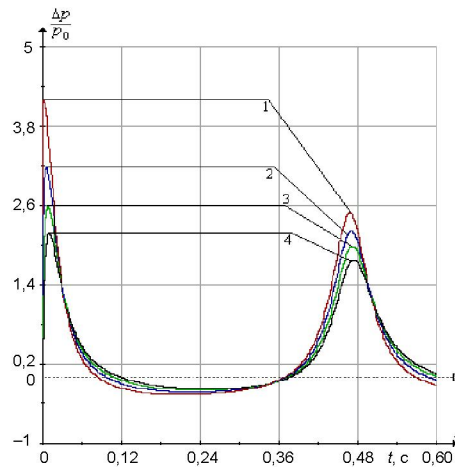


Рис. 2. Характер изменения относительного перепада давления  $\Delta p/p_0 = f(t)$  в волне при распространении в прифильтровой зоне скважины на различных радиусах  $R$  от оси фильтра наружным радиусом  $R_0$  при взрыве в полузамкнутой камере: 1 –  $R = R_0$ ; 2 –  $R = R_0 + 5$  см; 3 –  $R = R_0 + 10$  см; 4 –  $R = R_0 + 15$  см при:  $R_1 = 12$  см;  $h = 60$  см;  $l = 60$  см;  $R_\phi = 14$  см;  $l_\phi = 10$  м;  $l_k = 20$  м;  $l_a = 2,6$  м;  $n = 1,4$ ;  $m' = 10$ ;  $\delta_\phi = 8$  мм;  $a = 10$  м<sup>2</sup>/с;  $\beta = 0,7$ ;  $s = 1,2$ ;  $p_0 = 0,363$  МПа

Рис. 3. Характер изменения относительного перепада давления  $\Delta p/p_0 = f(t)$  в волне при распространении в прифильтровой зоне скважины на различных радиусах  $R$  от оси фильтра наружным радиусом  $R_0$  при взрыве в цилиндрической камере с эластичной оболочкой: 1 –  $R = R_0$ ; 2 –  $R = R_0 + 5$  см; 3 –  $R = R_0 + 10$  см; 4 –  $R = R_0 + 15$  см при:  $R_1 = 4,2$  см;  $l = 0,4$  м;  $R_\phi = 12,5$  см;  $R_k = 12,5$  см;  $l_\phi = 10$  м;  $l_k = 20$  м;  $l_a = 0$ ;  $m' = 10$ ;  $\delta = 1,7$  мм;  $\delta_\phi = 8$  мм;  $a = 10$  м<sup>2</sup>/с;  $\beta = 0,7$ ;  $s = 1,13$ ;  $p_0 = 0,392$  МПа



## ВЫВОДЫ

В результате анализа исследований характера затухания волн давления в полости обрабатываемого фильтра и прифильтровой зоне скважины построена достаточно общая математическая модель процесса распространения волн давления, возникающих при подводных газовых взрывах в цилиндрических и сферических взрывных камерах с эластичными оболочками, а также в открытой снизу цилиндрической камере. Новизна модели заключается в возможности расчета амплитудно-временных параметров распространяющейся волны давления в полости фильтра и в грунте с учетом его фильтрационных характеристик. Модель может быть использована для расчета параметров волн давления в грунте для сферических и цилиндрических импульсных источников давления при известном характере  $p = f(t)$  на внешней поверхности фильтра для данного источника. Модель позволила при известных конструктивных параметрах скважины и применяемой взрывной камеры разработать методику расчета характеристик создаваемых при взрывах волн давления внутри фильтра и в прифильтровой зоне. Для расчетов параметров волн использовались уравнения, описывающие процесс пульсаций продуктов взрыва в скважине, а также уравнения затухания давления в жидкой и пористых средах. На основе решения уравнений составлена программа расчета, позволяющая рассчитать амплитудно-временные параметры распространяющейся волны, по которым можно судить о степени разрушения кольматанта по всей глубине зоны импульсной обработки.

## ЛИТЕРАТУРА

1. Щеголов, Е. Ю. Регенерация скважин на воду импульсными методами: автореф. ... дис. канд. техн. наук: 05.23.04 / Е. Ю. Щеголов; ВНИИВОДГео. – М., 1987. – 22 с.
2. Ивашечкин, В. В. Расчет пульсаций продуктов сферического подводного газового взрыва в скважине / В. В. Ивашечкин, В. В. Веременюк // Энергетика... (Изв. высш. учеб. заведений и энерг. объединений СНГ). – 2008. – № 4. – С. 77–82.
3. Гуленко, В. И. Теоретическое и экспериментальное исследование некоторых типов источников упругих волн на основе водородно-кислородной газовой смеси: дис. ... канд. геол. минерал. наук: 04.00.12 / В. И. Гуленко. – М., 1982. – 218 с.
4. Ловля, С. А. Взрывные работы в водозаборных скважинах / С. А. Ловля. – М.: Недра, 1971. – 121 с.
5. Карслу, Г. Теплопроводность твердых тел / Г. Карслу, Д. Егер. – М.: Наука, 1974. – 487 с.
6. Практика водозаборов подземных вод / А. И. Арцев [и др.]; под ред. Ф. М. Бочевера. – М.: Стройиздат, 1976. – 291 с.
7. Ивашечкин, В. В. Газодинамический способ восстановления дебита водозаборных скважин с использованием водородно-кислородной смеси: автореф. ... дис. канд. техн. наук: 05.23.04 / В. В. Ивашечкин; ВНИИВОДГео. – М., 1988. – 22 с.
8. Ивашечкин, В. В. Гидродинамика подводного газового взрыва в полузамкнутой камере, находящейся в скважине / В. В. Ивашечкин, В. В. Веременюк // Энергетика... (Изв. высш. учеб. заведений и энерг. объединений СНГ). – 2009. – № 1. – С. 74–81.
9. Ивашечкин, В. В. Расчет пульсаций продуктов цилиндрического подводного газового взрыва в скважине / В. В. Ивашечкин, В. В. Веременюк // Энергетика... (Изв. высш. учеб. заведений и энерг. объединений СНГ). – 2008. – № 2. – С. 79–90.
10. Корн, Г. Справочник по математике для научных работников и инженеров / Г. Корн, Т. Корн. – М.: Наука, 1970. – 720 с.
11. Самарский, А. А. Теория разностных схем / А. А. Самарский. – М.: Наука, 1989. – 616 с.

Представлена кафедрой гидравлики

Поступила 30.10.2009